

Список литературы

- [1] Гольцман Б. М., Кудинов Б. А., Смирнов И. А. Полупроводниковые термоэлектрические материалы на основе Bi_2Te_3 . М., 1972. 320 с.
- [2] Wyckoff R. W. G. Crystal Structures. Interscience. V. 2. 1967. 588 p.
- [3] Weiss J. et al. // Z. Phys. Chemie. Neue Folge. 1960. V. 2. P. 145.
- [4] Кузнецов В. Г. // Химическая связь в полупроводниковых и твердых телах. Минск, 1965. С. 311.
- [5] Олешко Е. В., Королышин В. Н. // УФЖ. 1986. Т. 31. В. 6. С. 919—924.

Институт физики АН АзССР
Баку

Получено 21.12.1990
Принято к печати 28.01.1991

ФТП, том 25, вып. 6, 1991

ИССЛЕДОВАНИЕ ПОВЕДЕНИЯ ПРИМЕСЕЙ МАРГАНЦА И НИКЕЛЯ ПРИ ДИФФУЗИОННОМ ЛЕГИРОВАНИИ КРЕМНИЯ

Абдурахманов К. П., Куликов Г. С., Лебедев А. А.,
Утамурадова Ш. Б., Юсупова Ш. А.

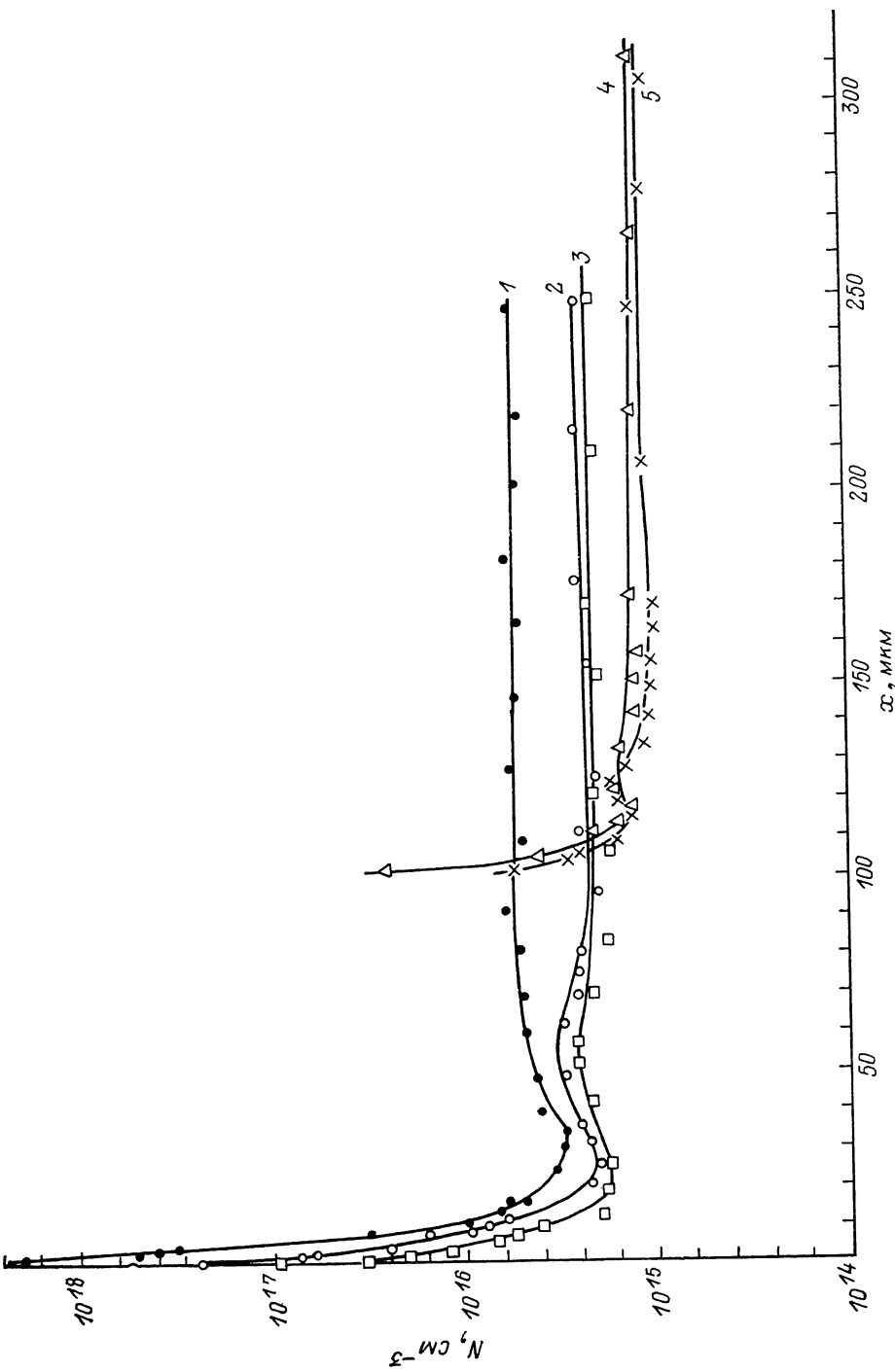
Межпримесное взаимодействие в полупроводниках является одним из факторов, определяющих зачастую электрофизические свойства материала. Применительно к кремнию такое взаимодействие может происходить, например, между быстродиффундирующими примесями переходных металлов, неконтролируемое проникновение которых в приборную структуру может приводить к деградации параметров кремниевого прибора.

Целью настоящей работы было исследование взаимодействия в кремнии быстродиффундирующих примесей Mn и Ni, вносящих глубокие уровни (ГУ) в запрещенную зону кремния. Исследование проводилось с использованием радиоактивной методики, а также нестационарной емкостной спектроскопии глубоких уровней (DLTS). Известно, что примесь марганца создает в запрещенной зоне Si донорные уровни $E_d = -0.13$, $E_d = -0.20$, $E_d = -0.42$ и $E_d = -0.54$ эВ [1], а примесь никеля — акцепторные уровни $E_a = -0.20$ и $E_a = -0.41$ эВ [2] (по данным, приведенным в монографии Милнса [3], положение акцепторных уровней никеля соответствует $E_a = +0.23$ и $E_a = -0.35$ эВ). Коэффициенты диффузии примесей марганца и никеля в кремнии при 1200°C составляют $D_{\text{Mn}} = 1 \cdot 10^{-5}$ и $D_{\text{Ni}} = 5 \cdot 10^{-5} \text{ см}^2/\text{с}$, а их растворимости соответственно — $N_{\text{Mn}} = 2 \cdot 10^{16}$ и $N_{\text{Ni}} = 5 \cdot 10^{17} \text{ см}^{-3}$ [2].

Объектами исследования служили образцы размерами $14 \times 7 \times 2$ мм, вырезанные из слитка монокристаллического кремния n -типа, выращенного по методу Чохральского. Удельное сопротивление образцов составляло $\sim 5 \text{ Ом} \cdot \text{см}$.

Порядок эксперимента сводился к следующему: вначале диффузионным способом (первичный отжиг) образцы легировались радиоактивным изотопом марганца и исследовалось его концентрационное распределение в нескольких образцах; затем после обработки двумя различными способами образцов, диффузионно насыщенных радиоактивным марганцем, в них в процессе повторного отжига проводилась диффузия нерадиоактивного никеля и далее анализировалось концентрационное распределение примеси марганца в таких образцах с никелем, а также в контрольных образцах, прошедших повторный диффузионный отжиг (без никеля). Сравнение диффузионных профилей марганца в образцах с никелем и без него (в том числе и в контрольных), а также данных по наличию ГУ марганца или никеля в образцах, прошедших аналогичные эксперименты с нерадиоактивным марганцем, позволило сделать определенные заключения по поводу взаимодействия указанных примесей при их диффузионном введении в кремний.

Концентрационные распределения Mn^{+3} в кремнии.
 1 — после диффузии марганца (исходный образец); 2, 3 — после удаления марганца с поверхности образца (обработка по способу а) и дополнительного отжига; 4, 5 — после обработки по способу б) и дополнительного отжига; 2 и 4 без слоя никеля (контрольные образцы), 3 и 5 со слоем никеля на поверхности. Температура диффузии и отжига 1200 °С, время 2 ч.



Диффузионные отжиги образцов проводились в эвакуированных кварцевых ампулах при 1200 °С в течение двух часов. Резкое охлаждение осуществлялось сбрасыванием ампул в воду. Источником диффузанта служил либо слой металла, напыленный на поверхность образцов, либо слой соли соответствующего металла. После отжига со всех торцов сошлифовалось по 10—15 мкм и проводилось их авторадиографирование. Упомянутые выше два различных способа обработки образцов после легирования марганцем, сводились к следующему.

а) Образцы травились в HF с последующей многократной промывкой в кипящем растворе $H_2O_2 : HCl = 1 : 1$.

б) Со всех поверхностей образцов шлифовкой удалялся слой толщиной до 100 мкм, после чего проводилось травление в CP-4 с последующей промывкой в вышеуказанном растворе.

Далее, как указывалось выше, в такие легированные радиоактивным марганцем образцы вводился никель.

На рисунке представлены полученные нами послойным радиометрированием концентрационные распределения марганца после диффузационного легирования (кривая 1) и после повторного отжига и введения никеля в образцы с различной (а, б) обработкой (кривые 2—5). Из рисунка видно, что во всех случаях независимо от способов обработки образцов распределение марганца состоит из двух участков. Первый участок — приповерхностный — до глубины 20—40 мкм характеризуется резким спадом концентрации примеси (до 3 порядков). Второй участок в объеме образца имеет пологую форму, близкую к равномерному распределению примеси. Между этими участками наблюдается концентрационный минимум [4].

Наличие приповерхностного участка (возникающего в процессе легирования), на наш взгляд, объясняется образованием на поверхности образца слоя силицида марганца при его диффузии в образец из приповерхностного источника [5]. Возникновение же такого участка при повторном отжиге в образцах, обработанных по способу б, обусловлено, по-видимому, экзодиффузией марганца.

Экспериментальные данные свидетельствуют, что концентрация Mn в объеме образцов, обработанных по способу а, с введением никеля и без него практически (в пределах погрешности) одинакова (кривые 2 и 3). Аналогичное заключение можно сделать и о концентрации Mn в образцах с никелем и без него, обработанных по способу б (кривые 4 и 5). Однако в последнем случае концентрация марганца несколько меньше (ср. с кривыми 2, 3), что связано с экзодиффузией примеси из образцов с удаленным приповерхностным участком. По этой же причине концентрация Mn в объеме образцов после легирования (первого отжига) выше, чем в любых образцах после вторичного отжига (кривая 1).

Емкостные измерения DLTS проводились на барьерах Шоттки, которые создавались напылением золота на образцы. Результаты измерений показали, что как при одновременном, так и при последовательном диффузационном легировании Si марганцем и никелем ГУ, связанные с электрически активными атомами Ni, не наблюдаются. На спектрах DLTS наблюдаются только ГУ, связанные с Mn в кремнии, концентрация электрически активных атомов которого не изменяется с введением примеси никеля.

Комплекс полученных нами данных радиоактивных и емкостных измерений позволяет сделать вывод о том, что при диффузационном легировании кремния быстродиффундирующими примесями марганца и никеля, по-видимому, не происходит межпримесного взаимодействия, это может быть обусловлено малой растворимостью этих примесей в кремнии и быстрым распадом твердого раствора Ni—Si [2] либо образованием электрически неактивных комплексов с участием атомов никеля.

Список литературы

- [1] Абдурахманов К. П., Лебедев А. А., Крейслер И., Утамурадова Ш. Б. // ФТП. 1985. Т. 19. В. 2. С. 213—216.
- [2] Болтакс Б. И., Бахадырханов М. К., Куликов Г. С., Городецкий С. М. Компенсированный кремний. Л., 1972. 122 с.
- [3] Милнес А. Примеси с глубокими уровнями в полупроводниках. М., 1977. 568 с.

- [4] Бахадырханов М. К., Болтакс Б. И., Куликов Г. С. // ФТТ. 1972. Т. 14. В. 6. С. 1671—1675.
[5] Адамбаев К., Зайцев В. К., Камилов Т. С., Куликов Г. С., Назыров Д. Э., Ордин С. В. // Поверхность. Физика, химия, механика. 1988. № 7. С. 66—70.

Физико-технический институт
им. А. Ф. Иоффе АН СССР
Ленинград

Получено 11.01.1991
Принято к печати 28.01.1991

ФТП, том 25, вып. 6, 1991

ОБРАЗОВАНИЕ МОЛЕКУЛ ВОДОРОДА В АРСЕНИДЕ ГАЛЛИЯ *n*-ТИПА ПРИ ЕГО ГИДРОГЕНИЗАЦИИ

Рытова Н. С.

Диффузия нейтральных атомов водорода в полупроводниковый кристалл сопровождается их связыванием в молекулы. В условиях, когда тепловым развалом молекул можно пренебречь, и для времен, достаточно больших, чтобы установилось равновесие по реакции связывания водорода в комплексы с примесными атомами ($8\pi r_H D_H H_0 t \gg 1$), образование молекул становится основным процессом, формирующим в кристалле вблизи его поверхности стационарный профиль атомарного водорода [1]:

$$H(x) = \frac{H_0}{(1 + x/x_0)^2}, \quad (1)$$

где

$$x_0 = (3/8\pi r_H H_0)^{1/2}. \quad (2)$$

Здесь H_0 — концентрация атомарного водорода в кристалле у его поверхности, r_H — радиус захвата для реакции образования молекул водорода в кристалле, D_H — коэффициент диффузии атомарного водорода, t — время диффузии.

В этом случае приповерхностный подъем масс-спектрального профиля водорода (дейтерия) $H_{\text{хим}}(x, t)$, обусловленный молекулами, описывается выражением

$$H_{\text{хим}}(x, t) = 2 \int_0^t 4\pi r_H^2 D_H H(x)^2 dt = \frac{16\pi r_H H_0^2 D_H t}{(1 + x/x_0)^4}. \quad (3)$$

Это выражение использовано здесь как для подтверждения самого факта образования молекул водорода в GaAs *n*-типа, так и для оценки коэффициента диффузии водорода в этом материале.

На рис. 1 представлены профили дейтерия, полученные в работе [2] методом масс-спектроскопии вторичных ионов (МСВИ) на низкоомных ($n=1.0 \cdot 10^{16} \text{ см}^{-3}$) образцах GaAs, легированных Sn, после 15-минутной термообработки в плазменном разряде при температурах 360 и 390 °C. Как следует из формулы (3), для $x \gg x_0$

$$H_{\text{хим}}(x, t) = \frac{9D_H t}{4\pi r_H x^4}. \quad (4)$$

Из рисунка видно, что зависимости $H_{\text{хим}}$ от x , построенные в двойном логарифмическом масштабе, обнаруживают наклон, с высокой точностью равный -4 . Эти зависимости дают $9D_H t / 4\pi r_H = 6.2$ при 360 °C и $9D_H t / 4\pi r_H = 2.5$ при 390 °C.